

## КРАТКИЕ СООБЩЕНИЯ

УДК 539.2 : 539.172

ОСОБЕННОСТИ КАТИОННОГО РАСПРЕДЕЛЕНИЯ  
В АЛЮМИНИЙЗАМЕЩЕННЫХ ГЕКСАФЕРРИТАХ БАРИЯ

Ш. Ш. Башкиров, А. Б. Либерман, Чахо Сен, Е. Г. Грошев

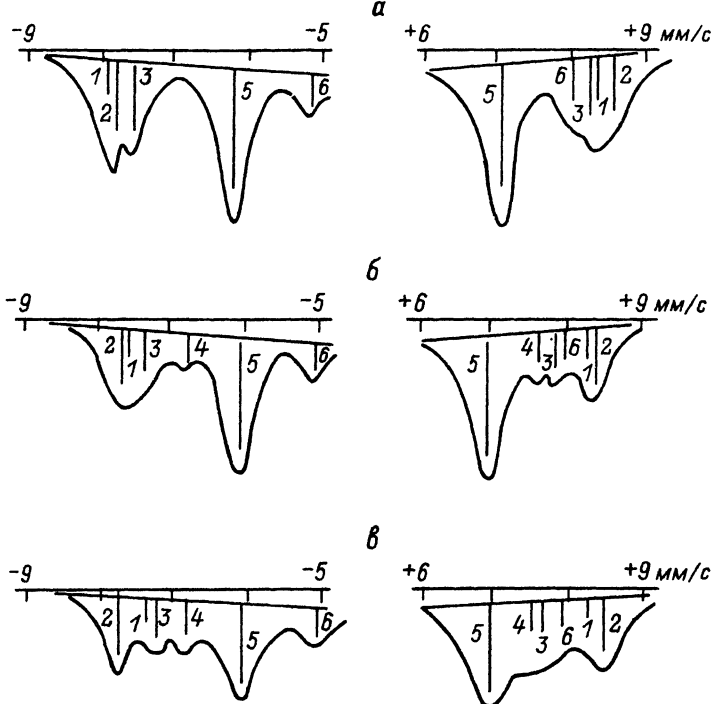
Гексагональные ферриты со структурой магнетоплюмбита в настоящее время детально исследуются с помощью мессбауэровской спектроскопии [1, 2]. Наличие пяти кристаллографически неэквивалентных положений для ионов железа:  $2a$ ,  $4f_2$ ,  $12k$  — октаэдры,  $4f_1$  — тетраэдры и  $2b$  — тригональная бипирамида приводит к существованию достаточно сложной магнитной структуры в таких кристаллах. Замещение же части магнитных ионов железа диамагнитными (галлия, индия, алюминия и др.) вызывает возникновение различных видов коллинеарного и неколлинеарного магнитного упорядочения в зависимости от места локализации и концентрации замещающих катионов. Это и вызывает большой интерес к изучению замещенных систем [3, 4]. Однако сложный характер мессбауэровских спектров может приводить к неоднозначной интерпретации результатов.

Так, например, комплексные исследования алюминийзамещенных гексаферритов бария, проведенные авторами [3], показали, что с ростом замещения наблюдается плавное уменьшение намагниченности насыщения и значений локальных магнитных полей на ядрах ионов железа для всех пяти неэквивалентных положений ионов металла в решете феррита с сохранением всех особенностей спектров, характерных для незамещенных гексаферритов бария. С учетом кристаллической структуры, числа и характера обменных связей это интерпретировалось как равномерное размещение ионов алюминия по  $2a$ -,  $4f_1$ - и  $12k$ -позициям при  $x < 5$ .

Однако это удивительно, поскольку ионы алюминия обладают различной энергией предпочтения к тетра- и октаузлам. Для решения вопроса о преимущественном распределении ионов алюминия по позициям гексагонального феррита нами были использованы для мессбауэровских исследований образцы, подготовленные из монокристаллов системы  $BaAl_xFe_{12-x}O_{19}$  ( $x = 0, 1, 1.5, 2, 2.5, 3, 4.5$ ).

Мессбауэровские спектры ряда образцов приведены на рисунке. Видно, что с ростом замещения начинается неравномерное уширение линий спектра и уменьшение локальных магнитных полей для ряда подрешеток. (При замещении  $x = 4.5$  разрешение отдельных компонент спектра практически отсутствует). Отличительной особенностью спектров замещенных образцов является возникновение дополнительного секстета со значением локального магнитного поля порядка 450 кЭ уже при замещениях  $x = 1$  (см. рисунок). С ростом замещения наблюдается рост интенсивности этой подрешетки. Значения локальных магнитных полей и интенсивности компонент спектра при комнатной температуре приведены в таблице.

Такие изменения вида спектров могут быть объяснены, если предположить, что при малых замещениях ионы алюминия первоначально локализуются в  $2a$ -узлах. В этом случае подрешетка  $4f_1$  будет разделяться на позиции, имеющие в ближайшем окружении магнитные  $4f_1$  или диамагнитные  $4f'_1$  ионы в  $2a$ -



Крайние линии мессбауэровских спектров образцов системы  $\text{BaAl}_x\text{Fe}_{12-x}\text{O}_{19}$  при  $T = 296 \text{ К}$ .  $x = 0$  (a), 1 (b), 1.5 (1).

Подрешетки: 1 —  $2a$ , 2 —  $4f_2$ , 3 —  $4f_1$ , 4 —  $4f_1'$ , 5 —  $12k$ , 6 —  $2b$ .

позициях. В последнем случае величина локального магнитного поля будет существенно меньше из-за полного разрыва сильной обменной связи  $2a$ — $O$ — $4f_1$ . Предполагая статистическое распределение ионов алюминия по  $2a$ -позициям из относительной интенсивности подрешеток  $4f_1$  и  $4f_1'$  можно оценить концентрацию ионов в подрешетке  $2a$ . При статистическом распределении относительные вероятности отдельных подрешеток задаются в виде

$$P(n,y) = C_N^n y^n (1-y)^{N-n}, \quad (1)$$

Мессбауэровские параметры образцов системы  $\text{BaAl}_x\text{Fe}_{12-x}\text{O}_{19}$  при  $T = 296 \text{ К}$

	Состав $x$	$12k$	$4f_2$	$4f_1$	$4f_1'$	$2a$	$2b$
Поля $H$ , кЭ	0	412	513	493	—	508	409
	1	404	501	463	450	484	406
	1.5	405	502	459	439	481	402
	2	402	496	450	429	468	397
	2.5	393	484	440	408	459	391
	3	385	472	430	392	449	385
Отн. интен- сивности $j/j_{4f_2}$	0	0.68	1	1	—	1	1
	1	0.87	1	0.64	0.35	0.51	1
	1.5	0.66	1	0.5	0.5	0.25	1
	2	0.55	1	0.28	0.64	0.16	1
	2.5	0.67	1	0.21	0.29	0.15	1
	3	0.76	1	0.21	0.29	0.14	1

где  $n$  — число соседей ионов с концентрацией  $y = x/x$  ( $2a$ ) в  $N$  ближайших узлах. Подрешетка  $4f_1$  имеет три ближайших соседа из  $2a$ -подрешетки, т. е.  $N = 3$ . Тогда для концентрации алюминия  $x = 1.5$  относительные интенсивности подрешеток  $4f_1$  и  $4f'_1$  должны составлять 0.5, поэтому  $P(3, y) = 0.5$ , отсюда из выражения (1) следует  $0.5 = (1-y)^3$  или  $y = 0.79$ . Это соответствует содержанию железа в  $2a$ -узлах, равному 0.21, и хорошо совпадает с экспериментально определенной величиной 0.25. Аналогичное согласие наблюдается и для других замещений.

Это показывает, что в диапазоне малых замещений до значения  $x < 2$  наблюдается преимущественное замещение алюминия в  $2a$ -узлы шпинельного блока. При дальнейшем увеличении концентрации алюминия наблюдается заметное уменьшение интенсивностей линий подрешеток  $4f_1$  и  $4f'_1$ , что может являться свидетельством размещения алюминия в данных узлах.

Таким образом, в исследованных ферритах наблюдается последовательное размещение ионов алюминия сначала в  $2a$ -узлах, а затем и в  $4f_1$ -узлах шпинельного блока с почти полным замещением диамагнитными ионами первых (см. таблицу).

Столь высокая концентрация диамагнитных ионов в  $2a$ -узлах приводит к разрыву основных обменных связей между элементарными ячейками вдоль оси С и, как следствие, к сильному магнитному разупорядочению в данных ферритах при  $x > 3$ .

#### Список литературы

- [1] Melzer K., Martin A. // Phys. St. Sol. (a). 1988. V. 107. P. 163—167.
- [2] Melzer K., Suwalski J., Lukasiak M. // Phys. St. Sol. (a). 1990. V. 118. P. 35—38.
- [3] Albanese G., Asti G., Batti P. // Nuovo Cimento. 1968. V. 58. P. 467.
- [4] Башкиров Ш. Ш., Либерман А. Б., Синявский В. И. Магнитная микроструктура ферритов. Казань, КГУ, 1978. С. 104.

Казанский государственный университет  
им. Ульянова (Ленина)

Поступило в Редакцию  
21 мая 1991 г.

УДК 538.245 + 539.1

© Физика твердого тела, том 34, № 6, 1992  
*Solid State Physics, vol. 34, N 6, 1992*

## МАГНИТНАЯ СТРУКТУРА И ОБМЕННЫЕ ВЗАИМОДЕЙСТВИЯ В ШПИНЕЛЯХ СИСТЕМЫ $\text{Fe}_{1-x}\text{Cu}_x\text{Cr}_2\text{S}_4$

*P. K. Губайдуллин, Т. Г. Аминов*

Ранее [1] методом гамма-резонансной (ГР) спектроскопии нами было показано, что в системе  $\text{Fe}_{1-x}\text{Cu}_x\text{Cr}_2\text{S}_4$  в области  $x > 0.5$  ионы  $\text{Fe}^{3+}$  наряду с локализацией в тетраэдрических ( $A$ ) позициях проявляют определенную склонность к размещению и в октаэдрических ( $B$ ) позициях. При этом ионы Fe ( $B$ ) находятся в неэквивалентных в магнитном отношении положениях. Возникновение данной неэквивалентности связано, на наш взгляд, с различием в числе магнитных соседей в ближайшем окружении ионов Fe ( $B$ ) ввиду нахождения ионов меди в диамагнитной  $3d^{10}$ -конфигурации.

В случае диамагнитного разбавления шпинели ионами меди конкуренция между обменными  $A-B$ - и  $B-B$ -взаимодействиями может привести к отклонению магнитных моментов ионов Fe ( $B$ ) от коллинеарного упорядочения. Это обус-